

04; 09

ЭФФЕКТИВНЫЙ МЕТОД ВЫВОДА ЭНЕРГИИ
ИНТЕНСИВНЫХ МЕДЛЕННЫХ ВОЛН
ИЗ ПЛАЗМЕННОГО ВОЛНОВОДА

Г.И. Загинайлов, А.Н. Кондратенко,
Е.М. Прохоренко

Несмотря на существенный прогресс (см., например, [1-3]), плазменные установки для генерации СВЧ излучения пока далеки от совершенства, что не позволяет полностью реализовать их преимущества (возможность плавной перестройки частоты генерации, продвижение в область коротких длин волн и др.). Одним из наиболее слабоизученных является вопрос о выводе энергии плазменных волн, т.е. о согласовании плазменного резонатора, представляющего собой участок волновода с плазменным заполнением, с излучающим устройством. К существенному уменьшению потерь при выводе энергии приводит использование релятивистских пучков [2]. Возбуждающиеся при этом плазменные волны с $v_\phi \sim (0.8-0.9)$ с сравнительно легко выводятся из плазмы. Однако потери при выводе энергии даже в этом случае составляют величину $\sim 10\%$ и вполне возможно, что именно поэтому экспериментальное значение КПД ($\sim 10\%$) плазменного генератора существенно ниже оптимального теоретического ($\sim 30\%$).

В работе [4] было экспериментально показано, что выход СВЧ излучения можно увеличить путем использования продольно-неоднородного волноводного перехода, на котором происходит плавное увеличение фазовой скорости возбуждаемой плазменной волны. Однако, поскольку в плазменных установках возбуждаемая волна находится в синхронизме с пучком, на участке с возрастающей фазовой скоростью энергия волны опять может передаваться пучку [4]. Этот эффект может быть ослаблен выбором закона изменения v_ϕ . В работе [5] был найден закон плавного увеличения v_ϕ , обеспечивающий минимум потерь на отражение в широком диапазоне частот при минимальной длине перехода. При амплитудах плазменных волн порядка амплитуды захвата $\frac{v_E}{v_\phi} \sim (\frac{\delta}{\omega})^2$ (δ – инкремент неустойчивости) пучок может забирать значительную часть энергии обратно даже на малых расстояниях.

Предлагаемый ниже широкополосный волноводный переход (рис. 1) лишен этого недостатка и в то же время обеспечивает увеличение фазовой скорости плазменной волны до $v_\phi \gtrsim 0.9c$, после чего можно с успехом использовать коаксиальный вывод энергии. Он является непосредственным продолжением плазменного резонатора, используемого в последних экспериментах [2]: цилиндрический волновод радиуса R_o , трубчатая плазма радиуса R_p с толщиной $d \ll R_p$,

находящаяся в сильном магнитном поле ($\omega_e^2 \gg \Omega_e^2$, $\omega_e = \frac{eH_0}{mc}$, $\Omega_e^2 = \frac{4\pi e^2 n_p}{m}$, где e , m , n_p – заряд, масса и плотность электронов плазмы, H_0 – напряженность магнитного поля). Фазовая скорость плазменной волны меняется радиусом волновода. Закон изменения v_ϕ и R_o выбираем исходя из следующего. Как известно, коэффициент отражения от неоднородного волноводного перехода с плазменным заполнением может быть представлен в виде [5]:

$$R = -\frac{1}{2} \int_0^1 \frac{d \ln W}{d \zeta} e^{-i \sigma \zeta} d \zeta, \quad (1)$$

где $W = \beta_\phi \gamma_\phi^2$, $\beta_\phi = v_\phi/c$, $\gamma_\phi = (1 - \beta_\phi^2)^{-1/2}$, $\sigma = 2 \int_0^L h(z) dz$, $\zeta = \frac{2}{\sigma} \int_0^z h(\tau) d\tau$, $h(z)$ – волновое число плазменной волны.

Согласно [6], R будет меньше некоторой величины R_{max} при минимальной длине перехода, если $W(\beta_\phi(\zeta))$ имеет оптимальный вид:

$$\ln W(\beta_\phi(\zeta)) = \frac{1}{2} \ln W_1 W_2 + \rho_{max} A^2 \Phi(2\zeta - 1, A), \quad 0 < z < L, \quad (2)$$

$$W(\beta_\phi)|_{z \leq 0} = W_1, \quad W(\beta_\phi)|_{z \geq L} = W_2,$$

где $W_{1,2} = W(\beta_{\phi 1,2})$,

$$\beta_{\phi 1} = \beta_\phi|_{z=0}, \quad \beta_{\phi 2} = \beta_\phi|_{z=L},$$

$$ch A = \frac{1}{2} \rho_{max}^{-1} \ln \frac{W_2}{W_1}, \quad \Phi(x, A) = \int_0^x \frac{x I_1(A \sqrt{1-\tau^2})}{A \sqrt{1-\tau^2}} d\tau,$$

$I_1(x)$ – модифицированная функция Бесселя первого порядка.

Функция (2) (в отличие от использованной в [5]) решает оптимальную задачу в классе функций с разрывной производной (скакки расположены на краях перехода ($z = 0, L$)). Использование этой функции целесообразно, поскольку позволяет избавиться от указанного выше недостатка, присущего плавным переходам.

Скачкообразное изменение v_ϕ в точке $z = 0$ приводит к фазовому рассогласованию пучка и волны, если $\Delta h = |h(z=+0) - h(z=-0)| \geq \gamma/v_\phi$, где γ – спектральная ширина плазменной волны, равная по порядку величине инкременту пучковой неустойчивости. В

$$\text{нашем случае } \gamma/\omega \approx \frac{\sqrt{3}}{2} \left(\frac{1}{2} \frac{n_b}{n_p} \right)^{1/3} \gamma_\phi, \quad \gamma = \frac{J_o^2(k_\perp R_b) + J_\parallel^2(k_\perp R_b)}{J_\phi^3 J_o^2(k_\perp R_p) + J_\parallel^2(k_\perp R_p)},$$

$$k_\perp^2 = \frac{1}{R_p d} \ln \frac{R_o(z < 0)}{R_p}, \quad n_b - \text{плотность пучка}, \quad J_{o,1}(x) - \text{функции}$$

Бесселя порядка 0.1. В результате работа сил поля над электронами пучка на участке перехода значительно уменьшается, обратной передачи энергии от волны к пучку практически не происходит.

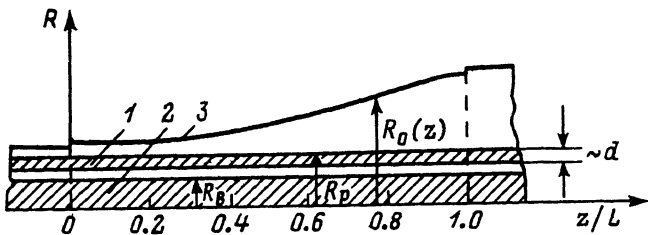


Рис. 1. Профиль неоднородного волноводного перехода: 1 - трубчатая плазма, 2 - цилиндрический электронный пучок, 3 - идеальный кожух переменного радиуса.

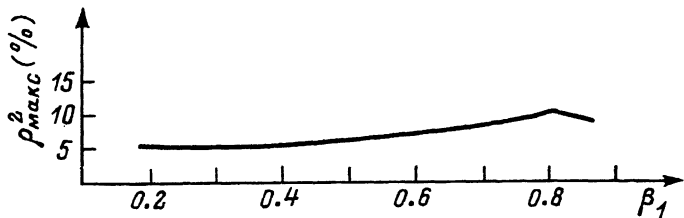


Рис. 2. Зависимость максимальных потерь от замедления плазменной волны в режиме оптимальной генерации.

Так как $R_b \approx R_p$, $k_\perp R_b < 1$, поэтому $\gamma \approx \gamma_\phi^{-3}$. Находя из (2) dh , получим, что для рассогласования пучка и волны необходимо, чтобы $\rho_{max} \gtrsim \frac{\sqrt{3}}{2} \left(\frac{1}{2} \frac{n_b}{n_p} \right)^{1/3} (1 + \beta_{\phi 1}^2)$. Особый интерес вызывает режим оптимальной генерации $M = \left(\frac{s_b}{s_p} \frac{n_b}{n_p} \gamma_\phi \right)^{1/3} \approx 0.6$ [2]. Потери на отражение при этом составляют величину $\alpha < \rho_{max}^2 \approx 0.27 \left(\frac{d}{\gamma_\phi R_p} \right)^{2/3} (1 + \beta_{\phi 1}^2)^2$. На рис. 2 приведена зависимость максимальных потерь от замедления плазменной волны при оптимальном режиме генерации для $d/R_p = 10^{-1}$. Для всех частот, удовлетворяющих

условию $\int_0^L h(\omega, z) dz > A = \operatorname{arccch} \left(\ln \frac{W_2}{W_1} \cdot \frac{2}{\sqrt{3}} \left(\frac{2k_p}{n_b} \right)^{1/3} (1 + \beta_{\phi 1}^2)^{-1} \right)$,

потери на отражение будут меньше приведенных.

Оптимальный закон изменения радиуса $R_o(z)$, соответствующий уравнению (2), можно найти, используя дисперсионное уравнение для плазменной волны:

$$\beta_\phi^2 = \frac{1}{1 + \frac{c^2}{\Omega_e^2} \frac{1}{R_p d} \ln R_o/R_p} . \quad (3)$$

На рис. 1 изображен профиль перехода для параметров $d = 0.6$ мм, $R_p = 7$ мм, $\beta_{\phi 1} = 0.6$, $\beta_{\phi 2} = 0.9$, $n_p = 3 \cdot 10^{13} \text{ см}^{-3}$. При длинах $L \gtrsim 15$ см переход дает потери порядка нескольких процентов в широком диапазоне замедлений плазменной волны.

Таким образом, использование данного перехода позволит существенно понизить уровень потерь энергии при выводе из плазменного резонатора, особенно в установках, где используются слаборелятивистские, но сравнительно высокоэнергетичные электронные пучки.

Список литературы

- [1] Файнберг Я.Б. // Физика плазмы. 1985. Т. 11. № 11. С. 1398-1410.
- [2] Кузелев М.В., Рухадзе А.А., Стрелков П.С. и др. // Физика плазмы. 1987. Т. 13. № 11. С. 1370-1382.
- [3] Кондратенко А.Н., Кукин В.М. Основы плазменной электроники. М.: Энергоатомиздат, 1988. 285 с.
- [4] Березин А.К., Березина Н.С., Ерохин Г.П. и др. // Письма в ЖЭТФ. 1971. Т. 14. С. 149-152.
- [5] Загинайлов Г.И., Кондратенко А.Н., Прохоренко Е.М. // ЖТФ. Т. 58. № 8. С. 1637-1639.
- [6] Klopferstein R. // PIRE. 1956. V. 44. N 1. P. 31.

Харьковский государственный
университет им. А.М. Горького

Поступило в Редакцию
18 марта 1989 г.